

3. Ковалев А.М., Щербак В.Ф. Условия идентифицируемости нелинейных механических систем // Механика твердого тела. - 1984. - Вып.16. - С. 77-91.
4. Ковалев А.М., Щербак В.Ф. Управляемость, наблюдаемость, идентифицируемость динамических систем. - Киев: Наук. думка, 1993. - 285 с.
5. Коробов В.И. Сведение задачи управляемости к граничной задаче // Дифференциальные уравнения. - 1976. - т XII. - N7. - С. 1310-1313.
6. Харламов П.В. Об инвариантных соотношениях системы дифференциальных уравнений // Механика твердого тела. - 1974. - Вып.6. - С. 15-24.
7. Щербак В.Ф. Условия идентифицируемости нелинейных механических систем с известным начальным состоянием // Там же. - 1985. - Вып.17. - С. 77-91.
8. Isidori A. Nonlinear control systems. - Berlin.- Springer-Verlag.-1985. - p.297.
9. Fliess M. A note on the invertibility of nonlinear input- output systems// Systems and Control Letters.- 1986.- vol.8.- N 2.- pp. 147-152.
10. Hirschorn R.M. Invertibility of multivariable nonlinear control systems // IEEE Trans.Autom. Control.- 1979. - v.AC-24.-N 6. - pp. 855-860.
11. Silverman L.M. Inversion of multivariable linear systems//IEEE Trans. Autom. Control. - 1969. - v.AC-14.-N 3.- pp. 270-276.
12. Singh S.N. A modified algorithm for invertibility of nolinear systems// IEEE Trans.Autom. Control. - 1981. - v.AC-28.-N 9. - pp. 595-598.

Ин-т прикл. математики и механики НАН Украины, Донецк

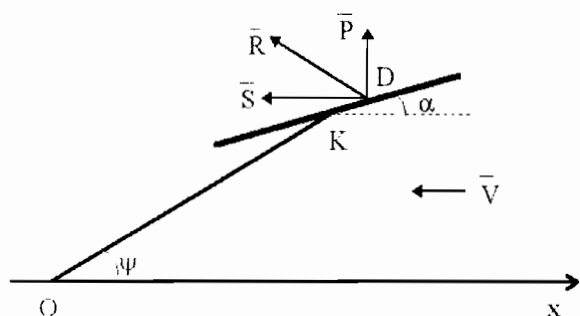
Получено 14.09.99

УДК 531.38

©2000. А.А. Илюхин, С.А. Ступко

## ПРИБЛИЖЕННОЕ РЕШЕНИЕ ЗАДАЧИ О РАВНОВЕСИИ ПЛАСТИНКИ НА УПРУГОМ СТЕРЖНЕ В ПОТОКЕ ВОЗДУХА

Рассматривается равновесие упругого стержня при плоском изгибе, который происходит под воздействием потока воздуха на пластинку, жестко прикрепленную к стержню. Построена приближенная зависимость угла атаки от скорости набегающего потока. Найдена скорость потока, при которой он оказывает на пластинку стабилизирующее воздействие.



Рассмотрим систему, представляющую собой жестко закрепленный в точке  $O$  упругий стержень, к которому в точке  $K$  на прямой симметрии пластинки жестко прикреплена пластинка. Тело помещено в поток воздуха, движущийся со скоростью  $V$  параллельно оси  $Ox$  (см. рисунок).

Силу  $R$  воздействия потока на пластинку представляют в виде суммы двух векторов [1]:

$$R = S + P, \quad \text{где } S = \frac{1}{2}\rho s(\alpha)VV - \text{ сила сопротивления,}$$

$$P = \frac{1}{2}\rho p(\alpha)(j \times V) - \text{ подъемная сила,}$$

$\rho$  — плотность воздуха,  $\alpha$  — угол атаки, то есть угол, который составляет вектор  $V$  с плоскостью пластинки,  $j$  — единичный вектор, лежащий в плоскости пластинки

перпендикулярно скорости потока  $V$ .

Функции  $s(\alpha)$ ,  $p(\alpha)$  зависят от формы пластинки и определяются экспериментально. Общие свойства этих функций таковы, что  $s(\alpha) \geq s(0) > 0$ , а  $p(\alpha)$  меняет свой знак при  $\alpha = 0$  и  $\alpha = \pi/2$ . Точку пересечения линии действия силы с плоскостью пластинки обозначим  $D$  и назовем центром давления. Тогда к стержню, кроме силы  $\mathbf{R}$ , приложен момент

$$M = \frac{1}{2} \rho d(\alpha) p(\alpha) V \cos \alpha + \frac{1}{2} \rho d(\alpha) s(\alpha) V^2 \sin \alpha, \quad (1)$$

$d(\alpha)$  — расстояние от центра давления до точки крепления пластинки. Через  $\psi(l)$  и  $\theta(l)$  обозначены соответственно углы наклона касательной недеформированного и деформированного стержня к оси  $x$  ( $l$  — длина дуги от точки  $O$  до текущей точки на стержне, в которой проведена касательная). В точке крепления стержня с основанием  $\psi = \psi_0$ , а в точке крепления стержня с пластинкой  $\psi = \psi_K$ .

Для записи уравнения равновесия необходимо знать проекцию внешних сил на направление касательной к оси стержня  $\boldsymbol{\tau}$  и нормали  $\mathbf{n}$ . Введем единичные векторы  $\mathbf{j}_V$  — вдоль скорости,  $\mathbf{j}_P$  — вдоль подъемной силы:

$$\mathbf{j}_V = -\boldsymbol{\tau} \cos \theta + \mathbf{n} \sin \theta, \quad \mathbf{j}_P = \boldsymbol{\tau} \sin \theta + \mathbf{n} \cos \theta,$$

$$\mathbf{S} = \left(-\frac{1}{2} \rho s V^2 \cos \theta\right) \boldsymbol{\tau} + \left(\frac{1}{2} \rho s V^2 \sin \theta\right) \mathbf{n}, \quad (2)$$

$$\mathbf{P} = \left(\frac{1}{2} \rho p V \sin \theta\right) \boldsymbol{\tau} + \left(\frac{1}{2} \rho p V \cos \theta\right) \mathbf{n}. \quad (3)$$

Воспользуемся точным уравнением упругого равновесия при плоском изгибе и для первоначально прямого стержня ( $\psi = \text{const}$ ) постоянного сечения ( $B = \text{const}$ ) запишем уравнение равновесия в виде

$$\frac{dM_3}{dl} + R_2 = 0. \quad (4)$$

Здесь  $M_3 = B\chi$  — проекция внутреннего момента на бинормаль,  $\chi = \frac{d\theta}{dl}$ ;  $R_2$  — проекция силы  $\mathbf{R}$  на нормаль. С учетом (2) и (3) получим

$$B \frac{d^2\theta}{dl^2} + \frac{1}{2} \rho s V^2 \sin \theta + \frac{1}{2} \rho p V \cos \theta = 0. \quad (5)$$

Умножим обе части (5) на  $d\theta/dl$  и проинтегрируем по  $l$ :

$$\frac{1}{2} B \left(\frac{d\theta}{dl}\right)^2 - \frac{1}{2} \rho s V^2 \cos \theta + \frac{1}{2} \rho p V \sin \theta - C = 0,$$

$$l = \sqrt{B} \int_{\psi_0}^{\theta} \left(\rho s(\alpha) V^2 \cos \theta - \rho p(\alpha) V \sin \theta + C\right)^{-\frac{1}{2}} d\theta.$$

Если записать уравнение (5) относительно изменения угла наклона касательной к оси стержня  $\nu = \theta - \psi$ , то это уравнение и его интеграл примут вид

$$B \frac{d^2\nu}{dl} + \frac{1}{2} \rho s V^2 \sin(\psi + \nu) + \frac{1}{2} \rho p V \cos(\psi + \nu) = 0, \quad (6)$$

$$B \left(\frac{d\nu}{dl}\right)^2 - \rho s V^2 (\cos \psi \cos \nu - \sin \psi \sin \nu) + \rho p V (\sin \psi \cos \nu + \cos \psi \sin \nu) - C = 0.$$

Граничные условия в нашей задаче таковы:

$$\begin{aligned} \text{при } l = 0 : \quad \nu &= 0, \\ \text{при } l = L : \quad B \frac{d\nu}{dl} \Big|_K &= M. \end{aligned} \quad (7)$$

Используя граничное условие при  $l = L$

$$M^2 = B \left( \rho s V^2 \cos(\psi + \nu_K) - \rho p V \sin(\psi + \nu_K) + C \right),$$

можно найти  $C$  из второго уравнения (6), привлекая (1),

$$C = \frac{1}{4B} \rho^2 d^2 (pV \cos \alpha + sV^2 \sin \alpha)^2 - \rho s V^2 \cos(\psi + \nu_K) + \rho p V \sin(\psi + \nu_K).$$

Предположим, что решение граничной задачи (6), (7) представимо в виде степенного ряда по  $V$ :

$$\nu(l) = \sum_{n=1}^{\infty} \mu_n(l) V^n. \quad (8)$$

Наша задача — получить зависимость угла атаки от скорости набегающего потока:  $\alpha = \alpha_0 + \nu_K$ , где  $\alpha_0$  определяет начальное положение пластинки,  $\nu_K$  — изменение угла атаки в точке  $K$ .

Заменим в уравнении (6)  $\cos \nu$  и  $\sin \nu$  их разложениями в ряд по степеням  $\nu$ :

$$\begin{aligned} B \frac{d^2 \nu}{dl^2} + \frac{1}{2} \rho V (sV \sin \psi + p \cos \psi) \left( 1 - \frac{\nu^2}{2!} + \frac{\nu^4}{4!} - \dots \right) + \\ + \frac{1}{2} \rho V (sV \cos \psi - p \sin \psi) \left( \nu - \frac{\nu^3}{3!} + \frac{\nu^5}{5!} - \dots \right) = 0. \end{aligned} \quad (9)$$

Далее, подставим ряд (8) в (9) и, удерживая при этом члены до третьего порядка включительно, придем к тождеству

$$\frac{1}{2} \rho \sum_{j=1}^3 q_j V^j = 0.$$

Выпишем коэффициенты при соответствующих степенях  $V$ :

$$\begin{aligned} V : \quad q_1 &= \frac{2B}{\rho} \frac{d^2 \mu_1}{dl^2} + p \cos \psi = 0; \\ V^2 : \quad q_2 &= \frac{2B}{\rho} \frac{d^2 \mu_2}{dl^2} - p \mu_1 \sin \psi + s \sin \psi = 0; \\ V^3 : \quad q_3 &= \frac{2B}{\rho} \frac{d^2 \mu_3}{dl^2} - \frac{1}{2} p \mu_2^2 \cos \psi + s \mu_1 \cos \psi - p \mu_2 \sin \psi = 0. \end{aligned} \quad (10)$$

Найдем коэффициенты  $\mu_n$  ( $n = 1, 2, 3$ ), используя дифференциальные уравнения (10)

и граничные условия (7). Из (7) следуют граничные условия на функции  $\mu_n$ .

$$\text{При } l = 0: \quad \mu_n = 0, \quad n = 1, 2, 3.$$

$$\begin{aligned} \text{При } l = L: \quad \frac{d\mu_1}{dl} &= \frac{\rho}{2B} dp \cos \alpha_0; \\ \frac{d\mu_2}{dl} &= \frac{\rho}{2B} d(s - p\mu_1) \sin \alpha_0; \\ \frac{d\mu_3}{dl} &= \frac{\rho}{2B} d\left[\left(s - \frac{p}{2}m\mu_1\right)\mu_1 \cos \alpha_0 - p\mu_2 \sin \alpha_0\right]. \end{aligned}$$

Теперь, имея дифференциальные уравнения второго порядка (10) и два граничных условия для каждого уравнения, можем найти коэффициенты ряда (8). Таким образом может быть получена приближенная зависимость угла атаки от скорости набегающего потока:  $\alpha = \alpha_0 + \mu_1 V + \mu_2 V^2 + \mu_3 V^3$ , где все  $\mu_n$  ( $n = 1, 2, 3$ ) вычислены при  $l = L$ :

$$\begin{aligned} \mu_1 &= \frac{\rho}{2B} p \left( \cos \psi \frac{L^2}{2} + d \cos \alpha_0 L \right), \\ \mu_2 &= \left( \frac{\rho}{2B} \right)^2 p^2 \cos \psi \sin \psi \frac{11}{4!} L^4 + \left( \frac{\rho}{2B} \right)^2 p^2 d \left[ \sin \psi \cos \alpha_0 - 3 \sin(\alpha_0 - \psi) \right] \frac{L^3}{3!} + \\ &+ \frac{\rho}{2B} \left( s \sin \psi - \frac{\rho}{2B} p^2 d^2 \sin 2\alpha_0 \right) \frac{L^2}{2!} + \frac{\rho}{2B} s d \sin \alpha_0 L, \\ \mu_3 &= \left( \frac{\rho}{2B} \right)^3 p^3 \cos \psi \left( 146 \cos^2 \psi - 179 \right) \frac{L^6}{6!} + \\ &+ \left( \frac{\rho}{2B} \right)^3 p^3 d \left( 11 \cos^3 \psi \cos \alpha_0 - 44 \cos \alpha_0 - \frac{15}{2} \sin \alpha_0 \sin 2\alpha_0 \right) \frac{L^5}{5!} + \\ &+ \left( \frac{\rho}{2B} \right)^2 p \left[ \frac{\rho}{2B} p^2 d^2 \left( 12 - 27 \cos^2 \alpha_0 \right) \cos \psi + s \left( 18 \cos^2 \psi - 13 \right) \right] \frac{L^4}{4!} + \\ &+ \left( \frac{\rho}{2B} \right)^2 p d \left[ \frac{\rho}{2B} p^2 d^2 \left( 6 \cos \alpha_0 - 9 \cos^3 \alpha_0 \right) + \right. \\ &\quad \left. + s \left( 5 \cos(\alpha_0 + \psi) - 2 \sin \alpha_0 \sin \psi \right) \right] \frac{L^3}{3!} + \\ &+ \left( \frac{\rho}{2B} \right)^2 p s d^2 \left( 2 \cos^2 \alpha_0 - 1 \right) L^2. \end{aligned}$$

Поток оказывает стабилизирующее воздействие на пластинку, если с ростом скорости потока воздуха угол атаки уменьшается. Укажем скорости, при которых реализуется разделяющий случай:

$$V_1 = \frac{-\mu_2 + \sqrt{\mu_2^2 - 3\mu_3\mu_1}}{3\mu_3}, \quad V_2 = \frac{-\mu_2 - \sqrt{\mu_2^2 - 3\mu_3\mu_1}}{3\mu_3},$$

здесь  $V_1, V_2$  — скорости, при которых  $d\alpha/dV = 0$ .

1. Локшин Б.Я., Привалов В.А., Самсонов В.А. Введение в задачу о движении тела в сопротивляющейся среде. — М.: Изд-во МГУ, 1986. — 86с.
2. Попов Е.П. Теория и расчет гибких упругих стержней. — М.: Физматгиз, 1986. — 296 с.